

**МЕХАНИКА  
ТВЕРДОГО ТЕЛА  
№ 4 • 1999**

УДК 539.376

© 1999 г. К.И. РОМАНОВ

**ИССЛЕДОВАНИЕ ПРОДОЛЬНОГО ИЗГИБА СТЕРЖНЯ  
В УСЛОВИЯХ ПОЛЗУЧЕСТИ НА ОСНОВЕ  
ТЕОРЕМЫ КЕЛЛЕДАЙНА – ДРУКЕРА**

Задачи устойчивости и продольного изгиба стержней в условиях ползучести решались в различных постановках [1–3]. В связи с тем, что точное определение критического времени рассматриваемых ниже задач выпучивания (steepl buckling) соответствующего катастрофическому нарастанию прогиба, невозможно [4], используются различные приближенные подходы. К числу последних относятся: замена реального поперечного сечения идеальным двутавром [5, 6] или применение теоремы Келледайна – Друкера для приближенного выражения скорости кривизны изогнутой оси стержня [7, 8].

Ниже дано развитие второго направления, заключающееся в изучении влияния различных аппроксимаций дополнительного рассеяния стержня на расчетную величину критического времени.

Рассмотрим пример шарнирно закрепленного сжатого по концам стержня (фиг. 1), имеющего длину  $l$ . Полагаем, что в начальный момент времени среднее сечение стержня имеет прогиб  $A_0$ , нарастающий в процессе дальнейшего деформирования под действием силы  $P = \text{const}$ .

Примем уравнение состояния материала в виде  $\xi = k\sigma^n$ , где  $\xi$  – скорость деформации,  $\sigma$  – напряжение,  $k$  и  $n$  – постоянные материала при данной температуре.

В [8] показано, что скорость изменения кривизны стержня определяется формулой

$$\dot{\xi} = \frac{kF}{n+1} \frac{\partial}{\partial M} (\Omega_n^{n+1}) \quad (1)$$

где  $F$  – площадь поперечного сечения стержня,  $M$  – изгибающий момент, зависящий от текущего значения прогиба,  $\Omega_n$  – функция, имеющая вид

$$\Omega_n = \left( \frac{1}{F} \int_F \sigma l^{n+1} dF \right)^{1/(n+1)}$$

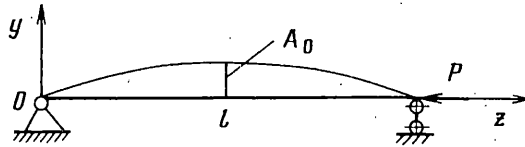
Предполагается, что поперечное сечение стержня имеет две оси симметрии, причем одна из этих осей лежит в плоскости изгибающего момента.

В общем случае точное выражение  $\Omega_n$  не известно: В частном случае чистого изгиба [8, 9]

$$\Omega_n = MF^{-1/(n+1)} J_n^{-n/(n+1)} \quad (2)$$

где  $J_n$  – обобщенный момент инерции сечения.

В соответствии с теоремой Келледайна – Друкера [7] поверхность  $\Omega_n = \text{const} = \sigma_*$  с ростом показателя  $n$  вкладывается в предшествующие, т.е. поверхности  $\Omega_n = \sigma_*$  заключается внутри поверхности  $\Omega_1 = \sigma_*$  и вне поверхности  $\Omega_\infty = \sigma_*$ , где  $\sigma_*$  – пороговое напряжение, ниже которого практически нет ползучести [10, 11].



Фиг. 1

Сказанное дает возможность построить приближенное аналитическое выражение  $\Omega_n$  для любого  $n$  с учетом известных функций  $\Omega_1$  и  $\Omega_\infty$ , соответствующих  $n = 1$  (решение линейной теории упругости) и  $n \rightarrow \infty$  (пределное состояние).

Примем

$$\Omega_n^2 = (N/F)^2 + (Ma)^2 + \beta(1 - 1/n) \frac{N}{F} Ma \quad (3)$$

$$a = F^{-1/(n+1)} J_n^{-n/(n+1)}$$

где  $N$  – нормальная сила;  $\beta$  – параметр, зависящий от формы поперечного сечения стержня, определяемый в процессе решения задачи по методике, изложенной ниже и позволяющий улучшить аппроксимацию  $\Omega_n^2$  по сравнению с общепринятой [7] аппроксимацией без параметра  $\beta$ .

В системе координат  $N - M$  уравнение кривой  $\Omega_n^2 = \sigma_*^2$  представляет собой серию вложенных эллипсов для различных значений  $n$ .

Функция (3) построена таким образом, что при  $n = 1$  она приводит к равенству  $\Omega_n = \Omega_1$ , а в случае  $N = 0$  эта функция совпадает с (2). В случае же  $n \rightarrow \infty$  уравнение (3) дает связь между предельными нагрузками в форме

$$\left( \frac{N}{N^0} \right)^2 + \left( \frac{M}{M^0} \right)^2 + \beta \frac{N}{N^0} \frac{M}{M^0} = 1 \quad (4)$$

где  $N^0$  и  $M^0$  – парциальные предельные нагрузки, каждая из которых является предельной при отсутствии другой.

Параметр  $\beta$  вычисляется с помощью метода наименьших квадратов из условия наилучшей аппроксимации истинной предельной кривой выражением (4).

Рассмотрим методику определения параметра  $\beta$  на примере прямоугольного поперечного сечения. Точное уравнение предельной кривой для этого случая [8] имеет вид

$$\left[ \frac{M}{2M^0} + \sqrt{\left( \frac{M}{2M^0} \right)^2 + \left( \frac{N}{N^0} \right)^2} \right]^2 = 1 \quad (5)$$

$$M^0 = \sigma_* b h^2 / 4, \quad N^0 = \sigma_* b h,$$

где  $b$  и  $h$  – основание и высота прямоугольника, соответственно.

Представим уравнения (4) и (5) в эквивалентной формулировке

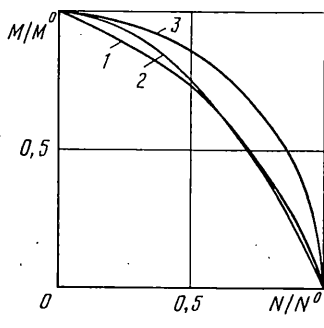
$$f = -\frac{1}{2} \beta x + \frac{1}{2} \sqrt{(\beta x)^2 - 4(x^2 - 1)}$$

и  $f = 1 - x^2$  соответственно ( $f = M/M^0$  и  $x = N/N^0$ ).

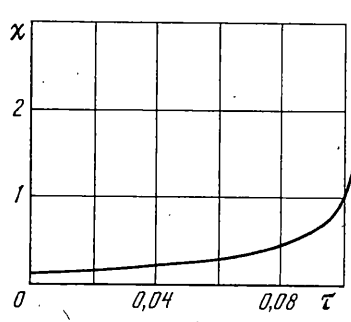
Разобъем интервал  $0 \leq x \leq 1$  на  $m$  точек и потребуем

$$\frac{\partial \phi}{\partial \beta} = 0$$

$$\phi = \sum_{i=1}^m \left\{ 1 - x_i^2 - \left[ -\frac{1}{2} \beta x_i + \frac{1}{2} \sqrt{(\beta x_i)^2 - 4(x_i^2 - 1)} \right]^2 \right\}$$



Фиг. 2



Фиг. 3

Условие минимума  $\varphi$  приводит к трансцендентному уравнению, корень которого  $\beta = 0,625$  определен численно для  $m = 100$  ( дальнейшее увеличение точек разбиения практически не приводит к изменению  $\beta$  ).

На фиг. 2 кривая 1 построена по уравнению (4) с найденным значением параметра  $\beta$ . Эта кривая значительно лучше аппроксимирует предельную кривую 2, построенную по уравнению (5), чем окружность 3, соответствующая уравнению (4) при  $\beta = 0$ .

Примем приближенное выражение скорости изменения кривизны изогнутой оси стержня  $\dot{\kappa} = \partial^2 \dot{y} / dz^2$ .

Тогда выражения (1) и (3) позволяют получить уравнение для скорости прогиба независимо от формы поперечного сечения

$$\frac{\partial^2 \dot{y}}{\partial z^2} = kFa \left[ \left( \frac{N}{F} \right)^2 + (Ma)^2 + \beta \left( 1 - \frac{1}{n} \right) \frac{N}{F} Ma \right]^{(n-1)/2} \times \\ \times \left[ Ma + \frac{1}{2} \beta \left( 1 - \frac{1}{n} \right) \frac{N}{F} \right]$$

Приближенное интегрирование этого уравнения по методу Бубнова – Галеркина дает возможность найти критическое время. В частности, для стержня, изображенного на фиг. 1:  $N = -P$ ,  $M = -Py$ ,  $y = A \sin(\pi z/l)$ , где  $A$  – амплитуда изогнутой оси, зависящая от времени. Поэтому потребуем, чтобы

$$\int_0^l -\frac{\pi^2}{l^2} \dot{A} \sin^2 \frac{\pi z}{l} dz + kFa P^n \int_0^l \left\{ F^{-2} + \right. \\ \left. + \left( aA \sin \frac{\pi z}{l} \right)^2 + \beta \left( 1 - \frac{1}{n} \right) F^{-1} aA \sin \frac{\pi z}{l} \right\}^{1/2(n-1)} \times \\ \times \left[ aA \sin \frac{\pi z}{l} + \frac{1}{2} \beta \left( 1 - \frac{1}{n} \right) F^{-1} \right] \sin \frac{\pi z}{l} dz = 0$$

Положим в качестве примера  $n = 3$ . Тогда после интегрирования приходим к дифференциальному уравнению для прогиба

$$\frac{2kP^3 l^2}{\pi^2} dt = \\ = \frac{dA}{\frac{1}{2} a^2 A / F + \frac{3}{8} Fa^4 A^3 + \frac{4}{3} \beta A^2 a^3 / \pi + \frac{1}{6} \beta^2 A a^2 / F + \frac{2}{3} \beta a / (\pi F^2)} \quad (6)$$

Как и следовало ожидать, в частном случае  $\beta = 0$  получаем решение, приведенное в [8]. Поскольку  $\beta \neq 0$ , критическое время может быть определено численным интегрированием с учетом начального условия  $t = 0, A = A_0$  уравнения (6) при  $A \rightarrow \infty$ .

Найдем, например, критическое время в частном случае стержня с прямоугольным поперечным сечением, для которого  $F = bh, J_3 = 0,17bh^{7/3}, a = 3,78b^{-1}h^{-2}$  и

$$t_* = \frac{\pi^2 b^3 h^5}{2kP^3 l^2} \int_{\chi_0}^{\infty} \frac{d\chi}{76,3\chi^3 + 22,9\beta\chi^2 + (1,59\beta^2 + 7,13)\chi + 0,802\beta} \quad (7)$$

где  $\chi = A/h$  – безразмерный прогиб ( $\chi_0 = A_0/h, \beta = 0,625$ ).

Пусть  $\chi_0 = 0,1$ . Тогда критическое время по формуле (7) равно  $t_* = 0,524b^3h^5/(kP^3l^2)$ .

На фиг. 3 критическое время соответствует асимптоте зависимости  $t(x)$ , где  $\tau = 2kP^3l^2 t / (\pi^2 b^3 h^5)$  – безразмерное время.

В случае  $\beta = 0$  [8]:

$$t_* = \frac{\pi^2 F^{3/2} J_n^{3/2}}{2kP^3 l^2} \ln \left( \frac{\frac{3}{2} J_n^{3/2} F^{-3/2} + A_0^2}{A_0^2} \right) = 0,807 \frac{b^3 h^5}{kP^3 l^2}$$

а решение по схеме идеального двутавра [6] дает

$$t_* = \frac{\pi^2 F^{3/2} J_n^{3/2}}{6kP^3 l^2} \ln \left( \frac{4J_n^{3/2} F^{-3/2} + A_0^2}{A_0^2} \right) = 0,388b^3h^5/(kP^3l^2)$$

Таким образом, применение более совершенной аппроксимации (3) с параметром  $\beta$  приводит к существенному сближению результатов, полученных на основе теоремы Келледайна – Друкера и по схеме идеального двутавра. Интересно, что замена множителя  $(1 - 1/n)$  в аппроксимации (3) на множитель  $(1 - 1/n^n)$  уменьшает расчетное критическое время до величины  $t_* = 0,449b^3h^5/(kP^3l^2)$ . Учет параметра  $\beta$  не выводит метод расчета за рамки обычных допущений при использовании теоремы Келледайна – Друкера без параметра  $\beta$ , поэтому можно сделать вывод об уточнении метода, основанного на теореме Келледайна – Друкера, за счет введения параметра  $\beta$  в аппроксимацию  $\Omega_n^2$ . Дальнейшее улучшение решения связано с использованием точного выражения для кривизны, приводящего к численным методам интегрирования дифференциального уравнения изогнутой оси стержня [12].

Очевидно, что для оценки точности получаемых значений критического времени целесообразны эксперименты по продольному изгибу стержней в условиях ползучести.

#### СПИСОК ЛИТЕРАТУРЫ

1. Работнов Ю.Н., Шестериков С.А. Устойчивость стержней и пластинок в условиях ползучести // ПММ. 1957. Т. 21. Вып. 3. С. 406–412.
2. Терегулов И.Г. Изгиб и устойчивость тонких пластин и оболочек при ползучести. – М.: Наука, 1969. 206 с.
3. Куришин Л.М. О постановках задачи устойчивости в условиях ползучести (обзор) // Проблемы теории пластичности и ползучести. М.: Мир, 1979. С. 246–302.
4. Работнов Ю.Н. Ползучесть элементов конструкций. М.: Наука, 1966. 752 с.
5. Хофф Н. Продольный изгиб и устойчивость. М.: Изд-во иностр. лит-ры, 1955. 155 с.
6. Романов К.И. Продольный изгиб нелинейно-вязких стержней // Расчеты на прочность. М.: Машиностроение, 1993. Вып. 33. С. 139–151.
7. Бойл Дж., Спенс Дж. Анализ напряжений в конструкциях при ползучести. М.: Мир, 1986. 360 с.

8. Романов К.И. Применение теоремы Келледайна – Друкера к решению задач продольного изгиба стержней в условиях ползучести // Актуальные проблемы механики деформируемого твердого тела. Алма-Ата: Гылым, 1992. Часть. 3. С. 48–57.
9. Малинин Н.Н. Прикладная теория пластичности и ползучести. М.: Машиностроение, 1975. 399 с.
10. Шестериков С.А., Юмашева М.А. Конкретизация уравнения состояния в теории ползучести // Изв. АН СССР. МТТ. 1984. № 1. С. 86–91.
11. Чадек Й. Ползучесть металлических материалов. М.: Мир, 1987. 302 с.
12. Романов К.И., Чернецов А.А. Анализ продольного изгиба стержня в условиях ползучести // Машиноведение. 1988. № 4. С. 33–35.

Москва

Поступила в редакцию  
2.06.1997